

# 发射电子管工作状态的計算

苏联 B. C. 阿格福諾夫著

孙文治譯 張大奎校

人民邮电出版社

Б. С. АГАФОНОВ  
РАСЧЕТ ЭКСПЛУАТАЦИОННЫХ РЕЖИМОВ  
ГЕНЕРАТОРНЫХ ЛАМП  
ГОСЭНЕРГОИЗДАТ, 1962

内 容 提 要

本书主要討論新型发射电子管电报和電話工作的計算。由于新型发射管在特性、結構、工作状态等方面与老式发射管不同，所以以前有关无线电发送设备的一些观点已不能适用。作者分析了大量的新型发射管，以大量实验資料为基础，提出了适用于新型发射管的計算方法。书中引用了大量的計算举例，把算出的数据与电子管厂推荐的数据，以及与用图解法得到的数据进行了比較，从而証明了作者所提出的方法是正确的。这些例子对于从事实际工作的同志也有一定的参考价值。

本书可供从事实际工作的无线电工程技术人员以及大学、中等专业学校教师和高年级学生阅读。

发射电子管工作状态的計算

---

著者：苏联 B. C. 阿格福諾夫  
译者：孙文治  
校者：张奎  
出版者：人民邮电出版社  
北京东四6条19号  
（北京市书刊出版业营业许可证字第〇四八号）  
印刷者：北京市印刷一厂  
发行者：新华书店北京发行所  
经售者：各地新华书店

---

开本 850×1168 1/32 1955年10月北京第一版  
印张 6 16/32 页数 104 1965年10月北京第一次印刷  
印刷字数 172,000字 印数 1—3,350 册

统一书号：15045·总1508—无434

定价：(科6) 1.00元

# 目 录

## 序

<b>第一章 发射电子管电报工作状态計算的特点</b>	1
1-1. 发射电子管的特性曲綫和計算參量	1
1-2. 按板压利用电子管	8
1-3. 电子管振蕩器的計算程序	10
1-4. 电子管板流的利用	12
1-5. 某些高效率阴极的特点	17
1-6. 极限电气量	20
1-7. 发射电子管的热状态	22
1-8. 最大（电报）工作状态的計算方法	26
1-9. 欠压工作状态的計算	28
1-10. 过压工作状态的計算	30
1-11. 关于通角的选择	32
1-12. 波段发射机輸出电子管工作状态的計算	33
1-13. 倍頻工作状态的計算	39
1-14. 电子管振蕩器的等效电路	41
1-15. 发射电子管运用状态的图解分析法	42
1-16. 电报工作状态可能的計算方法	48
<b>第二章 发射电子管电报工作状态的計算</b>	55
2-1. 概述	55
2-2. 計算举例	57
<b>第三章 发射电子管電話工作状态計算的特点</b>	126
3-1. 電話工作状态理論革新的必要性	126
3-2. 短波四、五极管中的柵偏压調幅	128
3-3. 在超短波电子管中的柵极調幅	131
3-4. 已調波放大	133
3-5. 五极管的抑制柵調幅	136
3-6. 帘柵极調幅	141

3-7. 板极調幅 .....	143
3-8. 板极-帘栅极調幅 .....	148
3-9. 根据电报工作状态的数据选择不同工作类型时的电气数据 .....	150
<b>第四章 发射电子管電話工作状态的計算 .....</b>	<b>151</b>
4-1. 发射电子管電話工作状态的計算舉例 .....	151
結語 .....	178
附录 計算用系数表和电子管參量表 .....	179
参考文献 .....	201

# 第一章 发射电子管电报工作状态計算的特点

## 1-1. 发射电子管的特性曲綫和計算參量

关于电子管計算參量的問題，具有重大的意义，因为在利用許多量計算时，計算变成冗长的数学过程，因而在这种情况下，直接从分析电子管的特性曲綫得到所求的結果，可能更简单些。

在建立发射三极管的計算理論时，利用了放大系数 $\mu$ 、跨导 $S$ 以及內阻 $R_i$ 等的习惯概念。这些參量是在1915~1920年間規定的，它們运用于具有均匀間隔的板-柵特性、工作于負柵压区域(即无柵流)的“左特性”接收-放大管。目前，这些參量只有对于調制器用的低頻三极管(見图1-1)和少数低放大系数( $\mu \leq 30$ )的发射管來說，才能看作是常数。

新式的高放大系数发射三极管都是“右特性”管，它們具有如图1-2所示的扇形板-柵特性。这种扇形是由于在正柵压时不可避免的柵流增大而引起的。在“右特性”三极管中，參量 $\mu$ 、 $S$ 、和 $R_i$ 是变化的，失去了常数的意义，因而使計算不便了。

电子管厂告訴使用者的“右特性”三极管的跨导值 $S$ ，一般是在板流不大时測得的。这个跨导是作为同一类型的各个电子管特性一致性的一个标准，而不能作为計算參量，因为它只对板-柵特性曲綫的起始段是正确的。

跨导恒定不变的陈旧觀點，会导致計算出来的激励电压幅度和柵偏压与其实际数值相比具有(40~50)%的誤差。此外，工厂还给出了 $\mu$ 的数值，而且特別說明了这是在具体测量情况下才正确的个别数值。在按电流对电子管作不同利用时， $\mu$ 的数值大致上会改变5~8倍(图1-3)。至于 $R_i$ ，一般是没有給出的。由此可見，关于參量 $\mu$ 、 $S$ 和 $R_i$ 恒定不变的概念，沒有被电子管厂的文件所証实。

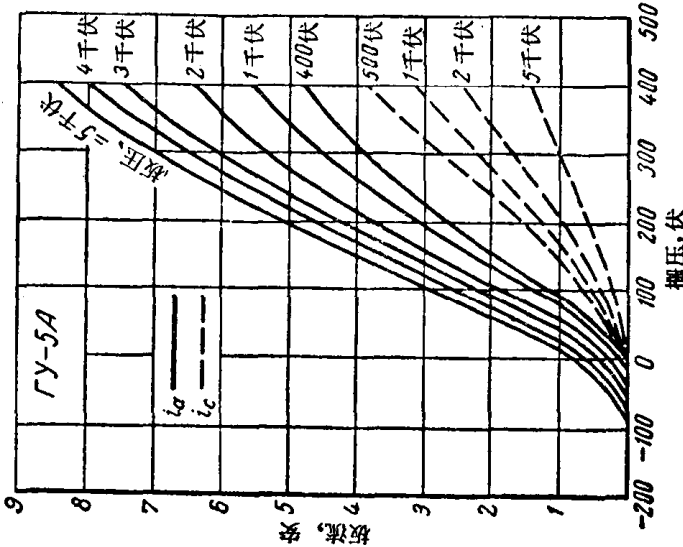


图 1-2 三极管 TV-5A 的板栅特性曲线

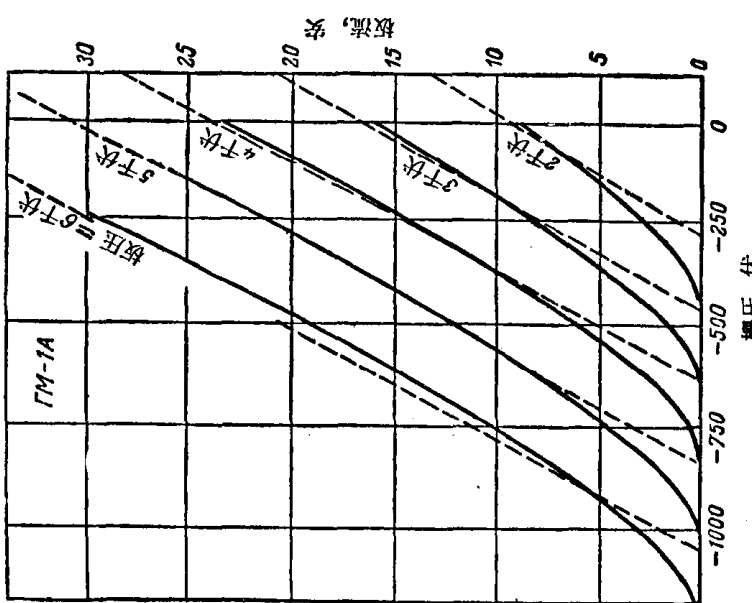


图 1-1 调制三极管 TM-1A 的板栅特性曲线

“右特性”发射三极管理想化的扇形板栅特性曲线，在第一級近似时可以认为下降到座标的原点。

发射三极管的重要計算參量是临界綫的斜率  $S_k$ ，把板极特性曲綫公共段（板流降落綫）的斜率，作为临界綫斜率是足够准确的。在降落綫上滿足板压与柵压相等的条件（見图 1-4）。

对于所有发射三极管，临界綫的斜率  $S_k$  都近似地等于板流特性曲綫弯曲点时的跨导值  $S$ 。这一点表明电子管的临界工作状态，它通常相应于頂部稍平的板流脉冲，这时，出現最大的电子管振蕩功率（最佳工作状态或临界工作状态）。

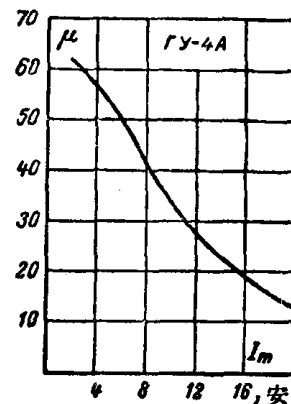


图 1-3 三极管 ГУ-4 A 的静态放大系数随板流脉冲的变化

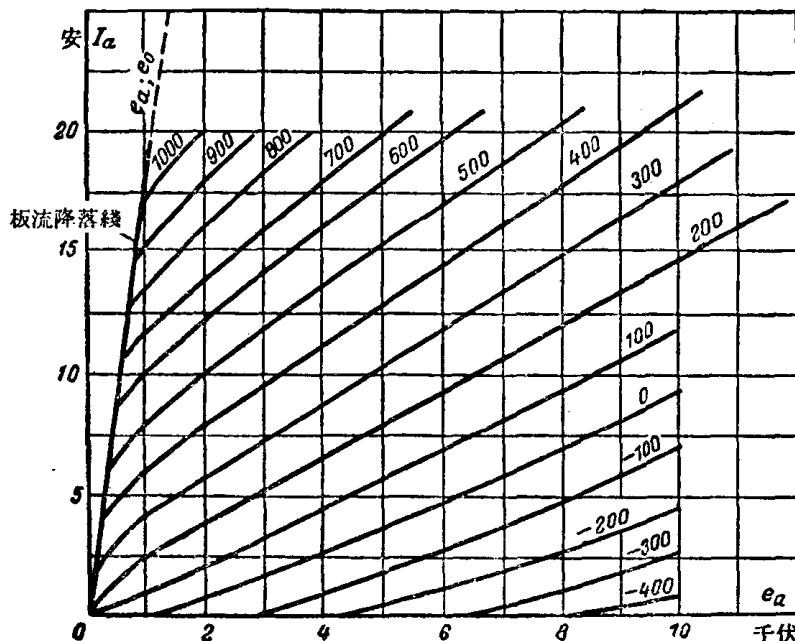


图 1-4 三极管 ГУ-12 A 的板极特性曲綫

现在来证明斜率  $S_k$  与某一个跨导  $S$  相等的问题。在图 1-5 中

绘出了幅度为  $I_m$  的理想化的板流脉冲，这个脉冲幅度相应于剩余板压  $e_{a,\text{min}}$  和最大正栅压  $e_{c,\text{max}}$ 。显然，斜率  $S_k$  和  $S$  的数值可以表示如下式：

$$S_k = \frac{I_m}{e_{a,\text{min}}} = \frac{ab}{e_{a,\text{min}}};$$

$$S = \frac{\Delta i_a}{\Delta e_c} = \frac{ab}{e_{c,\text{max}}}.$$

图 1-5 說明三极管理想化余弦板流脉冲形成的图形

因为电压  $e_c=0$  的特性曲线与零轴的夹角不大，可以认为  $ab \approx ab = I_m$ ；我们再考虑到等式  $e_{c,\text{max}} = e_{a,\text{min}}$  对  $a$  点是正确的。把上面两个条件应用于  $S_k$  和  $S$  的表示式，即可得到它们近似相等的结论。对于少数  $\mu < 30$  的三极管，可以认为它们的板-栅特性曲线是

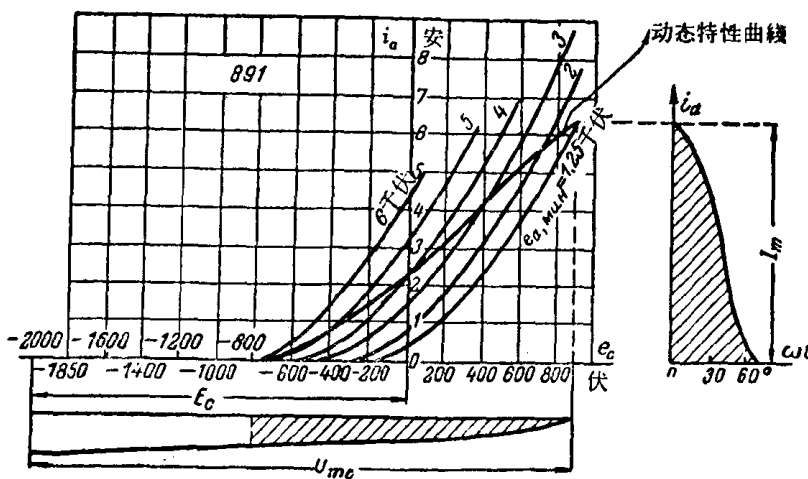


图 1-6 說明在具有均匀间隔的板-栅特性曲线的三极管 891 中，其余弦形脉冲形成的图形

$E_a = 10$  千伏， $E_c = 2$  千伏， $U_{ma} = 8.75$  千伏， $U_{mc} = 2.9$  千伏， $\mu = 12$

均匀間隔的（見圖1-6）。

从考察发射三极管的板极特性曲綫（图 1-7）看出，在負柵压下繪出的下部曲綫傾斜度較小。这一点表明在利用放射电流不大时，板流与板压的关系很小。因此，在动态工作状态时，如果瞬时負柵压接近“截止电压”，則板压对板流的影响极小。这种情况說明：相應于不同板压利用系数的板流脉冲的下通角基本上都是一样的（图 1-8）。

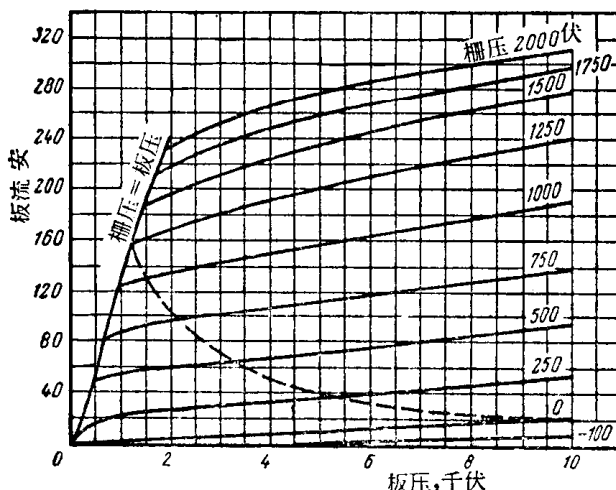


图 1-7 三极管 GK-1A 的板极特性曲綫

在不同的板极电压下測出的柵流-柵压特性曲綫，是一族从板-柵座标的原点发散出来的扇形曲綫（图 1-2）。所以在柵极电路中硬加上一个恒定不变的放大系数  $\mu_0 = -\frac{di_e}{de_a}$ （亦称“反作用系数”）是不适宜的，因它是在假定柵流特性曲綫为均匀間隔的条件下得出的。

在不同板压时繪出的四、五极管板-柵特性曲綫，也都是扇形的。帘柵流和板流同时开始，但是，对于某些新式的五极管和具有良好的电子束聚焦的集射四极管，电流  $i_{e2}$  的特性曲綫的扇形是处在較右的位置（图 1-9）。所以，帘柵流理想化特性曲綫的截止电压  $E_e''$ ，与板流理想化板-柵特性曲綫的截止电压  $E_e'$  相比，就可能非常

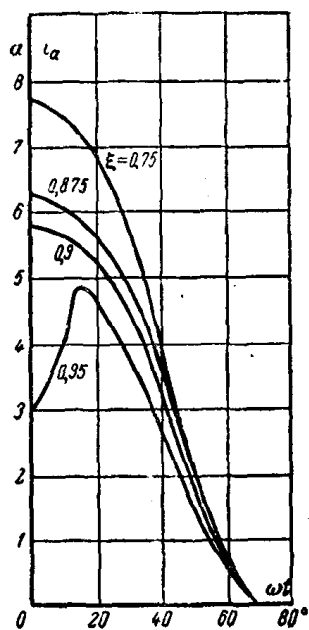


图 1-8 在不同板压利用系数时得到的三极管Г-891 的板流脉冲。 $E_a=10$  千伏,  $E_c=-2$  千伏,  $U_{mc}=2.9$  千伏

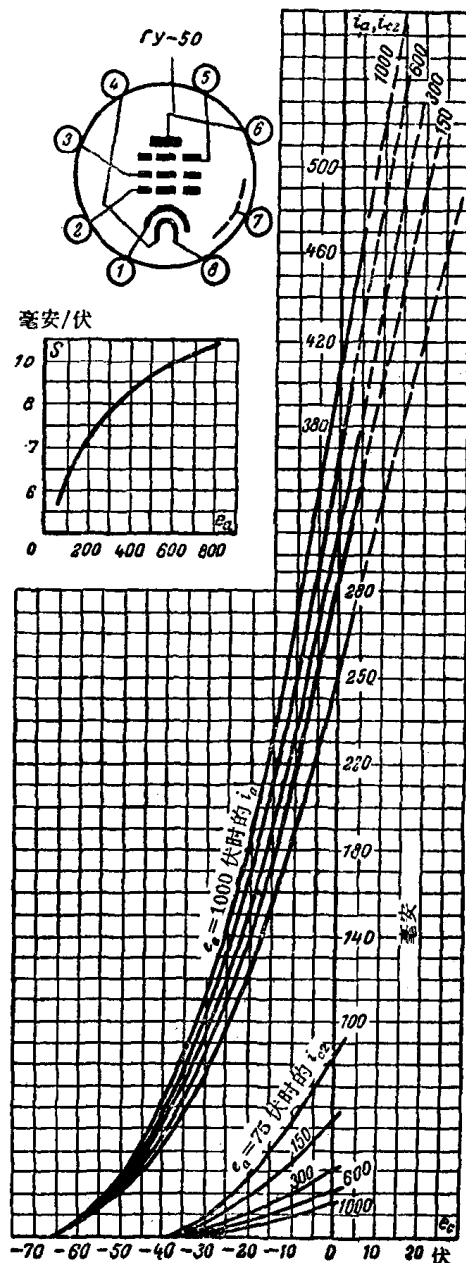


图 1-9 五极管ГУ-50 的板-栅特性曲线。 $E_{c2}=250$  伏,  $E_{c3}=0$ ,  $E^{*}_{c4}=-40$  伏

小(按其絕對值言)。从而，第二栅流的通角就远小于板流的通角。

在按电流正常利用四极管和五极管时，它們的板极特性曲綫与发射三极管的相似。因此，对于四极管和五极管來說，也可以近似地认为板流的公共起始綫就是临界綫(图 1-10)。

对于某些五极管，在不同控制栅压下繪得的特性曲綫 $i_a=f(e_a)$ ，其板流降落綫都是相互靠近的。在这种情况下，可以把 $S_k$ 規定为：从座标原点到位于正栅压 $e_{c,\max}$ 的特性曲綫上部一点的連綫的斜率，而这个正栅压 $e_{c,\max}$ 相当于最大可能地按板流利用了电子管。 $S_k$ 在±10%的范围内变化，基

本上不会影响板压利用系数的計算精确度。

四极管和五极管的另一个計算參量，就是从 $S=f(e_a)$ 曲綫中求得的一般的跨导。工作于临界状态时，下列关系式是正确的：

$$I_m = S_k e_{a,\max} = S_k (E_a - U_{ma});$$

$$I_m = S (e_{c,\max} + |E'_c|) = S (E_c + U_{mc} + |E'_c|).$$

因而

$$S_k e_{a,\max} = S (e_{c,\max} + |E'_c|).$$

由此可得

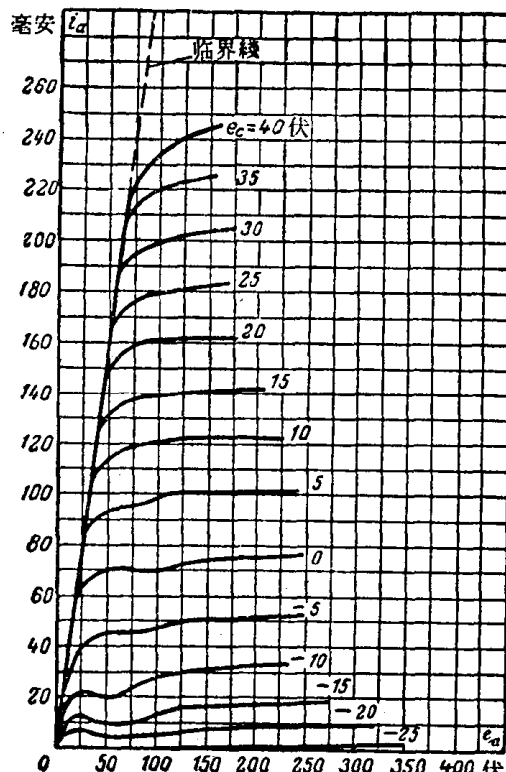


图 1-10 半只集射四极管 ГУ-17 在  $E_{c2}=200$  伏时的板极特性曲綫  
临界綫的斜率  $S_k=2.9$  毫安/伏

$$S = S_k \frac{e_{a,\text{мин}}}{e_{c,\text{макс}} + |E'_c|}.$$

已知  $S_k$  时，即可根据最佳状态的数据求出  $S$ 。最后一个公式，对于右特性三极管也近乎正确。在最佳状态，认为  $e_{a,\text{мин}} = e_{c,\text{макс}}$  和  $E'_c \approx 0$ ，我们就得到  $S \approx S_k$ ，亦即得到了熟知的关系式。

在板极-帘栅极调幅和帘栅极调幅的情况下，对  $i_a = \text{常数}$  的第二栅放大系数  $\mu_2 = \frac{\Delta E_{c2}}{\Delta E_c}$  必须已知。在抑制栅调幅时，系数  $\mu_3 = \frac{\Delta E_a}{\Delta E_{c3}}$  必须已知。参量  $\mu_2$  和  $\mu_3$ ，最好取用特性曲线上相当于电报工作状态按电流利用电子管的那些点求出。

在不同板压时繪出的四极管和五极管的板-栅特性曲线，常常都表現为均匀間隔的。这种图形与真实的特性曲线并不符合。有时发射四极管的板极特性曲线由于负阻效应而引起凹陷，因而就要在这个基础上，来推导一些用于計算最佳板压利用系数  $\xi_{opt}$  的特殊公式。我們指出，只有在控制栅极为负电位的情况下，电子管按板流利用很小时才会出現这些凹陷。而在按电流正常利用电子管时，板极特性曲线就不会有凹陷出現[文献 2]。

## 1-2. 按板压利用电子管

在計算发射电子管的运用状态时，通常总是从已知直流板压  $E_a$  和有用額定功率  $P_N$  入手的。直流板压  $E_a$ 、有用額定功率  $P_N$  和参量  $S_k$  的数值，决定了討論高效率阴极发射电子管的最佳（或临界）状态的路径。这种工作状态是用最佳板压利用系数表征的：

$$\xi_{opt} \approx 1 - \frac{2 P_N}{\alpha_1 S_k E_a^2}. \quad (1-1)$$

公式(1-1)适用于发射三极管、四极管以及五极管，并且与板流脉冲的形状相符合。

在最佳工作状态时，通常出現一个平頂板流脉冲，它是用下通角  $\theta$  和上通角  $\theta'$  表征的。

对于三极管、普通四极管、集射式四极管和五极管， $\xi_{opt}$  的变

化范围为 0.8~0.9。

对于降低板压使用的小功率四极管和五极管，往往

$$\xi_{\text{opt}} \approx 0.75 \sim 0.8.$$

公式(1-1)是作者于 1941 年在教学实践中导出的，而发表于 1948 年[文献 1]。此式的导出，是以 H. C. 别斯恰斯特諾夫(Бесчастнов)提出的简便方法[文献 6]为基础的，他曾經提出了对各种电子管都能近似适用的公式

$$\xi_{\text{opt}} \approx 1 - \frac{2 P}{\alpha_1 S_k E_a^2 \cos \theta'}. \quad (1-2)$$

但是在許多情况下，求得的  $\xi_{\text{opt}}$  与板流脉冲形状不相符合。例如，对于  $\theta = 75^\circ$  和  $\theta' = 20^\circ$  的平頂脉冲，与  $\theta = 75^\circ$  的余弦脉冲这两种情况，如果取同样的功率，就会得到同样的  $\xi_{\text{opt}}$ 。有时，平頂脉冲(强过压状态时所出現的)得到的  $\xi_{\text{opt}}$  值甚至小于余弦脉冲的  $\xi_{\text{opt}}$  值。举例說，对于五极管 4Π1Π 的典型工作状态 ( $E_a = 200$  伏， $P = 4.6$  瓦， $S_k = 2$  毫安/伏)，在平頂脉冲( $\theta = 95^\circ$  和  $\theta' = 35^\circ$ )的情况下得到的  $\xi_{\text{opt}} = 0.747$ ，而在  $\theta = 90^\circ$  的余弦脉冲时却是  $\xi_{\text{opt}} = 0.77$ 。公式(1-1)可由原始表示式

$$\xi_{\text{opt}} = 1 - \frac{I_m}{S_k E_a} \quad (1-3)$$

来导得。因为，对于工作于临界状态的三极管而言， $S \approx S_k$ ，所以公式(1-3)可变为

$$\xi_{\text{opt}} \approx 1 - \frac{I_m}{S E_a} \quad (1-4)$$

的形式，亦即得到了在 1927 年为 A. И. 别尔格所提出的公式。如如已知容許的极限板流值  $I_{a0 \text{ пред}}$ ，則利用公式(1-3)是方便的，根据  $I_{a0 \text{ пред}}$  选定板流

$$I_{a0} \approx (0.9 \sim 1) I_{a0 \text{ пред}}. \quad (1-5)$$

那么，我們就得到表示式

$$\xi_{\text{opt}} \approx 1 - \frac{I_{a0}}{\alpha_0 S_k E_a}, \quad (1-6)$$

在计算时，此式也被采用。

### 1-3. 电子管振荡器的计算程序

根据公式(1-1)求出来的  $\xi_{onr}$  值，决定了进一步的计算过程。这时可以计算板流基波，即

$$I_{a1} = \frac{2P_N}{U_{ma}}, \quad (1-7)$$

则板流直流分量

$$I_{a0} = \frac{I_{a1}}{\gamma}, \quad (1-8)$$

其中  $\gamma = \frac{\alpha_1}{\alpha_0}$ .

输送给振荡器的输入功率

$$P_0 = I_{a0} E_a, \quad (1-9)$$

板极耗散功率

$$P_a = P_0 - P, \quad (1-10)$$

板路效率

$$\eta = \frac{P}{P_0}, \quad (1-11)$$

板路等效阻抗

$$R_{oe} = \frac{U_{ma}}{I_{a1}}. \quad (1-12)$$

由此可见，适应于电子管振荡器板极电路的所有数量都能求出。

现在，来谈谈控制栅电路的计算。适用于各种电子管（三极管、四极管以及五极管）的计算栅偏压的通用公式为

$$E_c = E'_c - U_{mc} \cos \theta, \quad (1-13)$$

式中  $E'_c$ ——截止电压，在三极管中  $E'_c$  与选定  $E_a$  的一条板-栅特性曲线相对应；在四极管和五极管中， $E'_c$  决定于所选定电压  $E_{ea}$  的扇形理想化特性曲线的公共起始点。

在工作于平顶板流脉冲的四极管和五极管中，激励电压的幅值

$$U_{mc} = \frac{I_m}{S(\cos \theta' - \cos \theta)}. \quad (1-14)$$

工作于余弦脉冲时

$$U_{mc} = \frac{I_{a1}}{S\beta}, \quad (1-15)$$

式中

$$\beta = \alpha_1(1 - \cos \theta). \quad (1-16)$$

公式(1-13)同样适用于  $\mu \geq 40 \sim 50$ 、工作在临界状态的大功率发射三极管，这时，电压  $e_{a, mn}$  所对应的点是处在板流降落线上。因为在这种情况下的  $S \approx S_k$ ，則可得公式

$$U_{mc} = \frac{I_{a1}}{S_k \beta}. \quad (1-17)$$

在幅度調制的情况下，公式(1-17)可以用来計算最大工作状态时的  $U_{mco}$

为了理解利用其他公式的必要性，就得談談与新式发射三极管工作状态的特点有关的問題。在新式发射三极管中，占主要地位的是碳化鎢阴极的大功率超短波三极管。这种电子管的特点是极限柵极損耗功率相当小。为了避免柵极过热，必須工作于低柵流状态。所以，常有必要把  $\xi_{out}$  的計算值减小( $4 \sim 8$ )%，以便得到以低柵流为特征的欠压一些的工作状态。这时，在电子管中就会出現余弦板流脉冲。等式  $S \approx S_k$  就不再成立。 $S$  可能会比  $S_k$  大( $10 \sim 25$ )% 左右。 $S$  的增大是由于板极反作用的緣故，在柵压相当大时， $i_a = f(e_a)$  特性曲綫明显上升，就可証明这一情况。这就說明了利用公式

$$U_{mc} = \frac{I_m}{S(1 - \cos \theta)} + DU_{ma} = \frac{I_{a1}}{S\beta} + DU_{ma} \quad (1-18)$$

的必要性。

而跨导

$$S = \frac{i_a'' - i_a'}{e_c'' - e_c'} \quad (1-19)$$

可对电压  $e_a \approx E_a - U_{ma}$  在电流  $i_a''$  接近  $I_m$  值、电流  $i_a' = (0.1 \sim 0.2)$

$I_m$  时求得。公式(1-19)对于工作在强欠压状态的分米波三极管亦属正确，这时， $S$  可能为  $S_k$  的 1.5~2 倍。

#### 1-4. 电子管板流的利用

过去存在着一种不正确的見解，认为大功率电子管的阴极的主要型式就是鎢絲阴极，而碳化敷鈷鎢絲阴极只能用在  $E_a < 1,500$  伏的中等功率的电子管中。目前，碳化敷鈷鎢絲阴极已在大功率发射管中得到了广泛的应用。它已有成效地用于在較高板压下工作的发射三极管中，例如，用于在  $E_a = 18 \sim 20$  千伏下工作、 $P_N = 500$  千瓦的三极管中。在苏联的发射机中，采用了許多具有碳化敷鈷鎢絲阴极的大功率三极管（如 ГУ-5 А, ГУ-5 Б, ГУ-10 А, ГУ-10 Б, ГУ-4 А, ГУ-21 Б, ГУ-22 А 和 ГУ-23 А 等三极管），它們主要被用于超短波工作的柵极接地線路中。

关于鎢絲阴极大功率管必須选取板流脉冲为

$$I_m = (0.85 \sim 0.9) I_e \quad (1-20)$$

的見解，对于絕大多数大功率发射管來說是过时了的。大多数采用鎢絲阴极的新式发射管，都工作在 取  $I_m = (0.3 \sim 0.6) I_e$  的 空間电荷密度很大的状态下。

表 1-1 举例說明了上述概念，表中列出了苏联和其他国家的某些新式鎢絲阴极大功率三极管利用放射电流的数据。

放射能力利用得极不充分，可使虛阴极靠近柵极，这就使得跨导大为提高。由于  $S$  值的提高，增大了每一級的功率放大系数，从而使发射机的級数减少。由此可见，对由电力网“便宜的”能量所供给的阴极放射不作充分利用，是十分合理的，因为这就能使由整流設備供给发射机板路的“昂贵的”能量消耗得较少。

新式的鎢絲阴极，一般具有效率  $H \approx 7 \sim 10$  毫安/瓦；在某些三极管中，其效率可达 15 毫安/瓦左右。

大多数中等功率和大功率的碳化鎢絲阴极电子管工作于电报工作状态时，取板流脉冲  $I_m = (0.2 \sim 0.3) I_e$ ，其中  $I_e$  为放射电流的

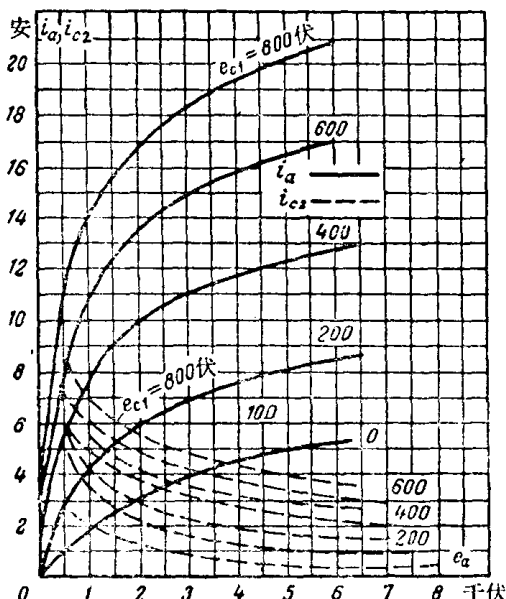
表 1-1

电子管	$P$ (千瓦)	$E_a$ (千伏)	$I_e$ (安)	$I_m/I_e$
ГУ-89 А	10.4	7.5	12	0.54
Г-891	10.8	7.5	9.5	0.664
893	38.1	12	25	0.64
898-А	100	18	57	0.422
5592	34.6	11	30	0.533
ГУ-11 А	29	10	21	0.56
ГК-3 А	97	12	60	0.634
ГУ-16 Б	18	8	17	0.56
ГК-1А	250	10	350	0.35

下限，在这样的板流下，各个板流特性曲线上部显著靠近，这一情况说明了可能发生饱和状态。在许多情况下，这种靠近是不能允许的，因为这时有使栅极过热的危险。

为了判别大功率发射管放射能力可能利用的情况，可以指出，在10千瓦的超短波四极管(ГУ-28型电子管的方案之一)中，在典型的工作状态下，板流脉冲的幅度 $I_m=6$ 安，而其 $I_e>30$ 安(见图1-11)。

对于碳化阴极的峰值效率，在文献中所载的数值过大，认为有50~75毫安/瓦。电子管如用了这样大的效率，将因阴极过热而损坏。实际上，在电

图 1-11 10 千瓦四极管在  $E_{c2}=2$  千伏时的板极特性曲线